

# 旋光特性在SP中的应用

——电动力学研习汇报

张楚珩 杨帆 曾培  
南京大学物理学院

# OUTLINE

- 表面等离激元简介:LSP/SPP
- 旋光特性在LSP中的体现
- 旋光特性在SPP中的体现

# 表面等离激元

## Surface Plasmon

- SPP的基本原理
- LSP的基本原理
- 透射增强现象
- Plasmonic Metasurface

- 1902 Wood 金属光栅反射光出现明暗条纹（Wood异常）
- 1957 Ritchie 理论预测金属表面存在等离子体模式
- 1968 Otto, Kretschmann 实验上激发SP



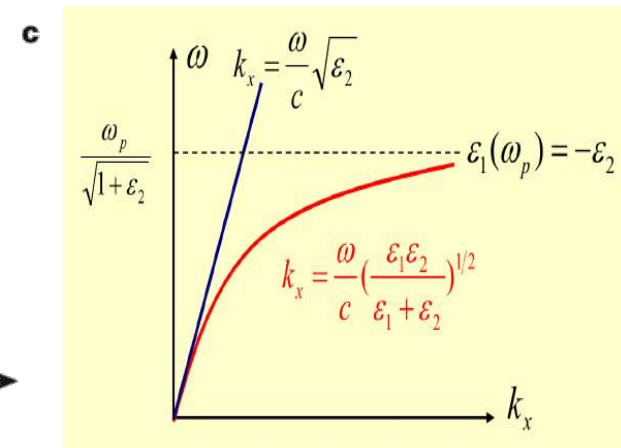
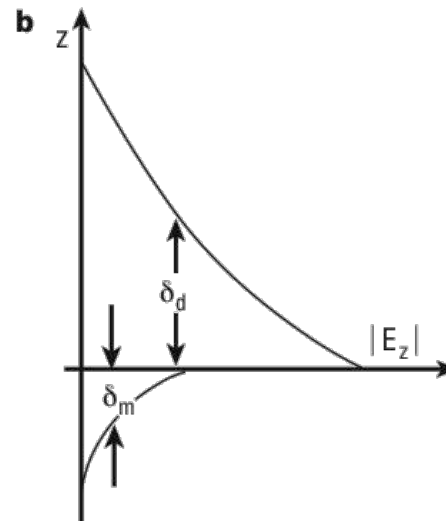
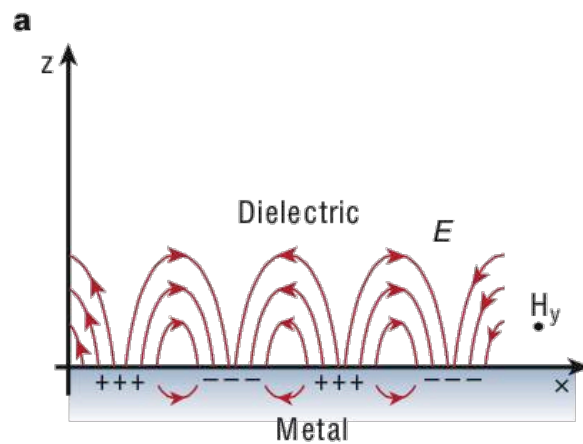
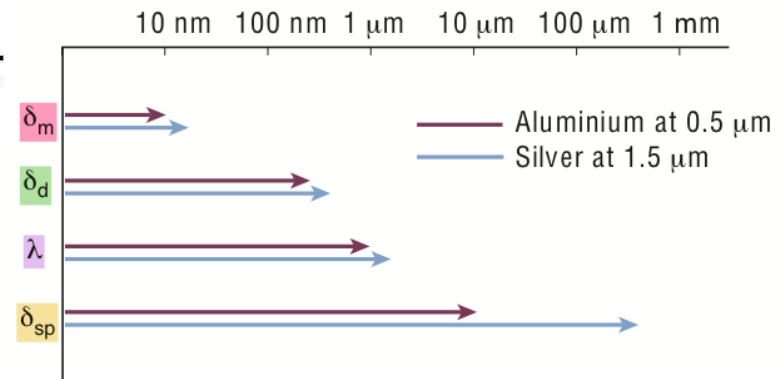
# SP

## SPP基本原理：基本性质

$$k_{sp} = k_0 \sqrt{\frac{\epsilon_m \epsilon_d}{\epsilon_m + \epsilon_d}} + ik_0 \left( \frac{\epsilon_m \epsilon_d}{\epsilon_m + \epsilon_d} \right)^{3/2} \frac{\epsilon'_m}{2(\epsilon_m)^2}$$

$$k_{zj} = ik_0 \sqrt{\frac{\epsilon_j^2}{\epsilon_1 + \epsilon_2}}$$

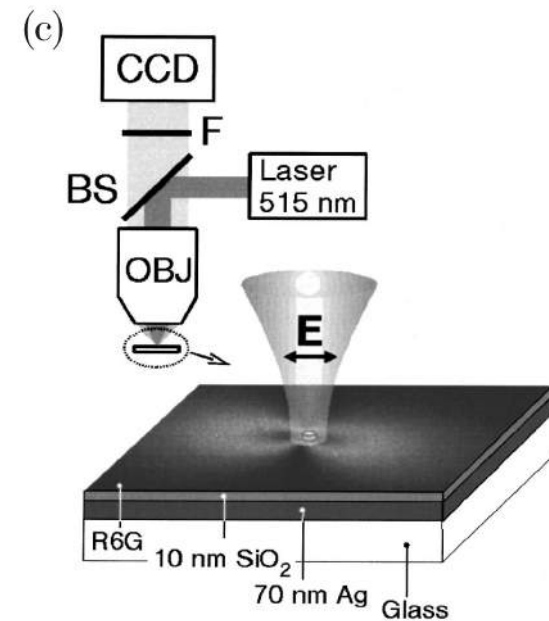
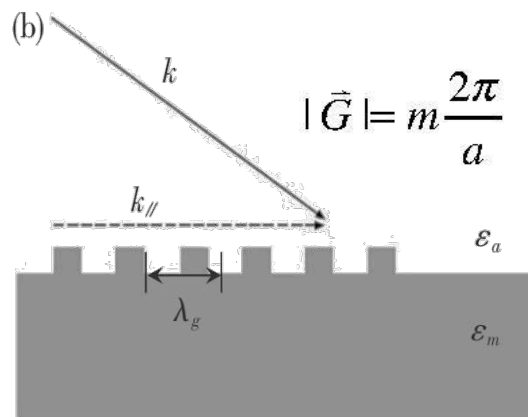
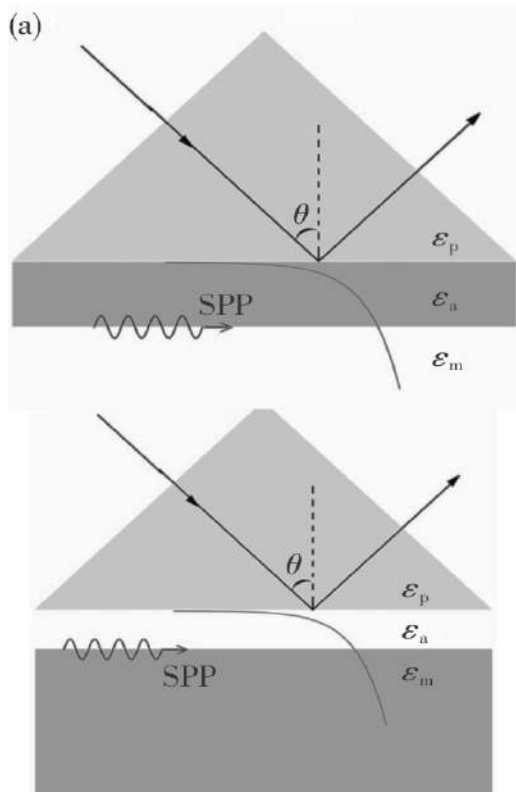
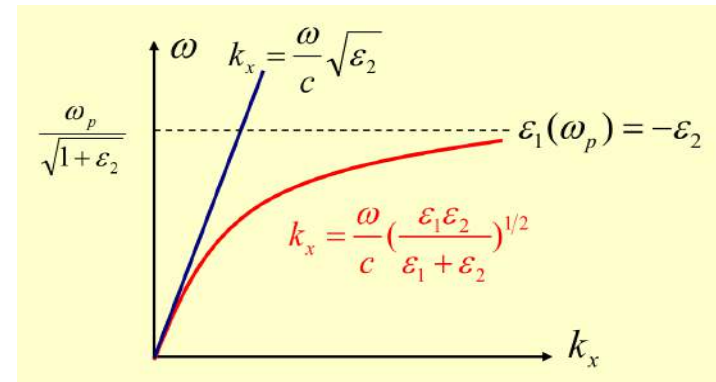
$$l_{sp} = \frac{2}{[\text{Re}(k_{sp})]^3} \frac{[2\pi \text{Re}(\epsilon_m)]^2}{\lambda^2 \text{Im}(\epsilon_m)}$$



# SP

## SPP基本原理：激发

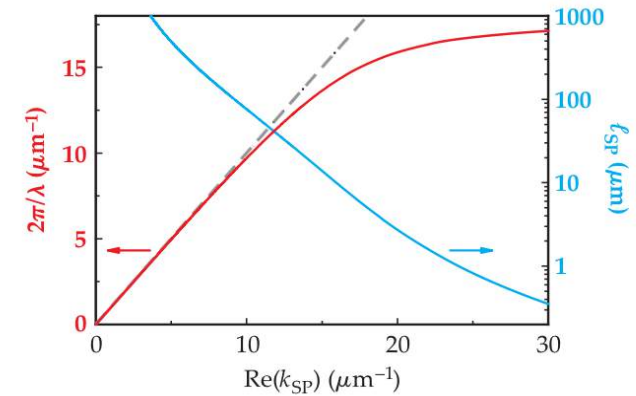
- a) 棱镜耦合：Kretschmann\Otto
- b) 周期性处理：光栅结构
- c) 几何缺陷：亚波长突起



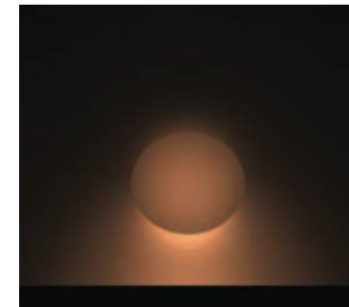
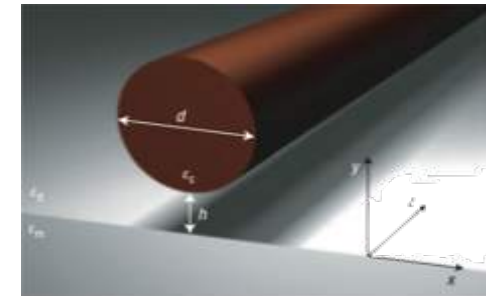
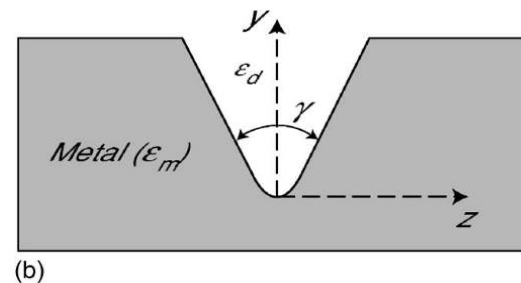
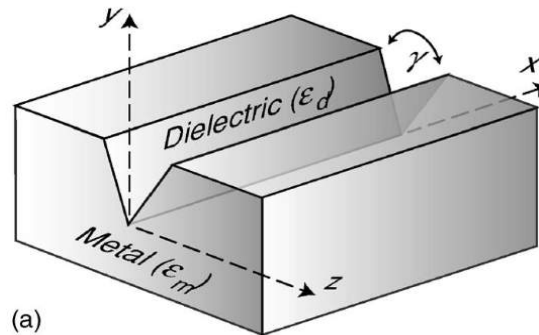
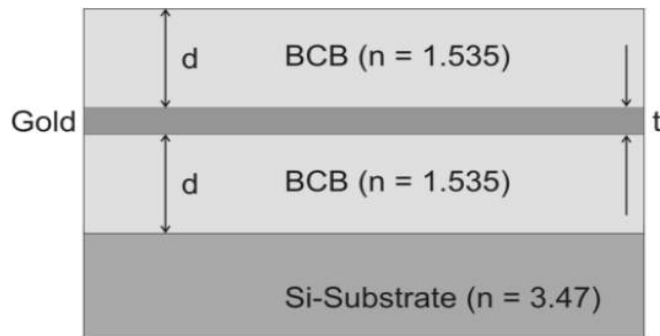
# SP

## SPP基本原理：传播

- 多层结构：DMD (LRSP)、MDM
- 脊/槽型结构：CPP、WPP
- 杂化结构：HPP



$$l_{sp} \propto [\text{Re}(k_{sp})]^{-3}$$





# SP

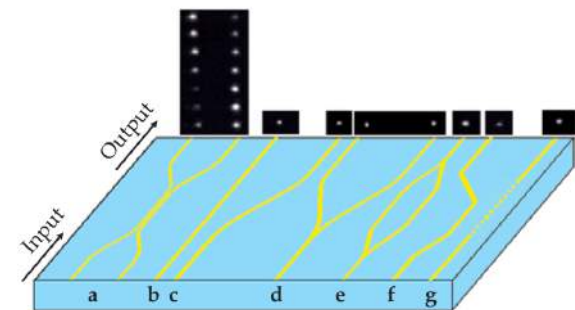
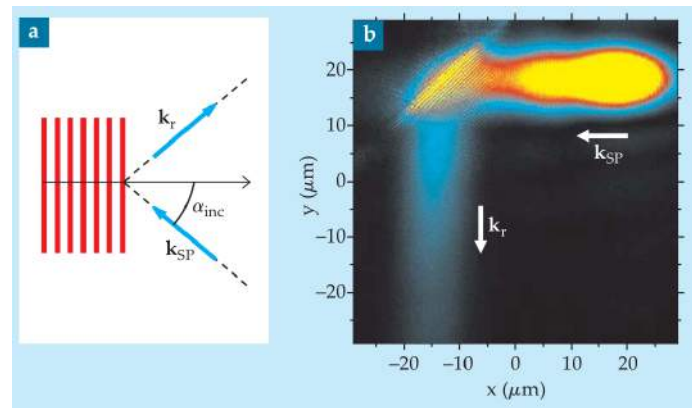
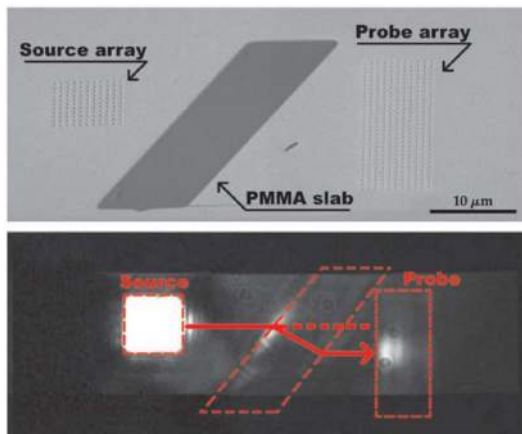
## SPP基本原理：控制

- 被动元件

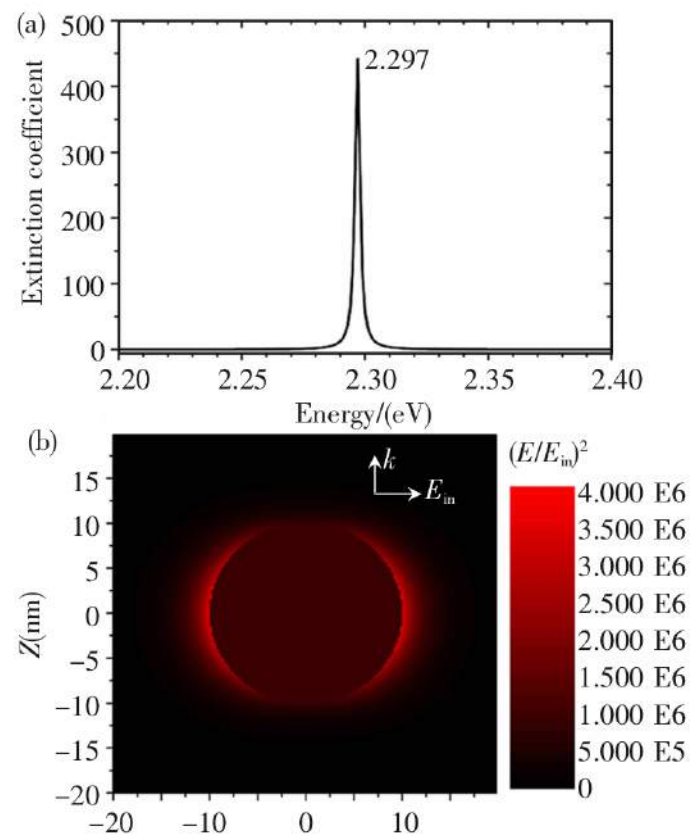
- 折射元件
- Bragg反射镜
- 波导

- 主动元件

- 电光元件
- 热光元件
- .....



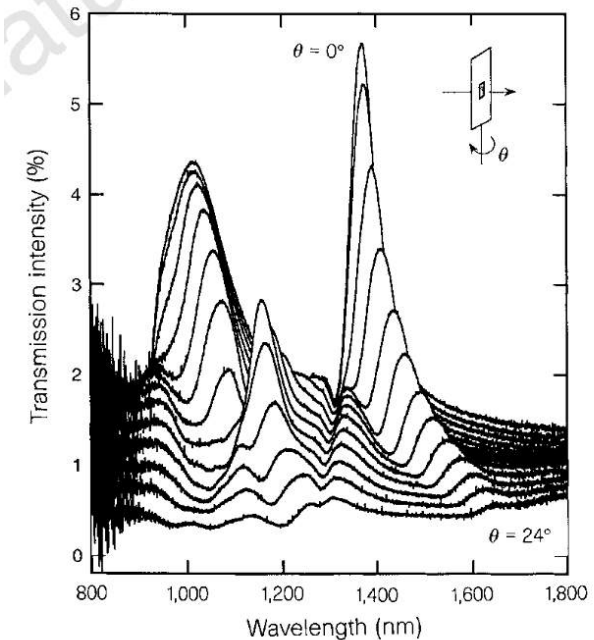
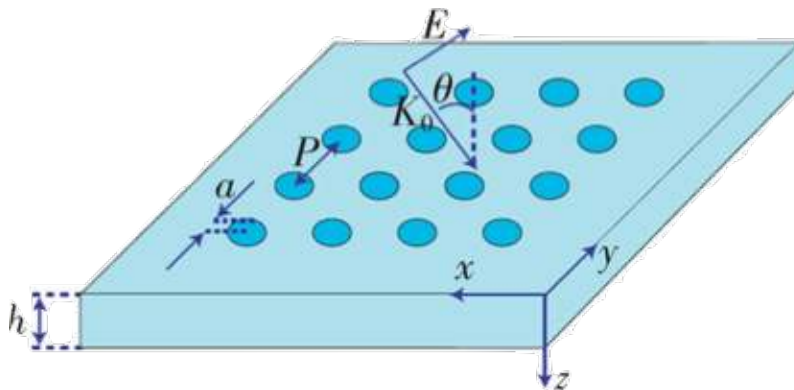
- 消光谱峰与局域介质折射率有关
- 局域范围内强烈的场增强





- 1998 Ebbesen 金属膜中的透射现象 (EOT)
- 透射波长的周期依赖关系  $\lambda_{\max} = \frac{a_0}{\sqrt{l^2 + j^2}} \sqrt{\frac{\epsilon_m \epsilon_d}{\epsilon_m + \epsilon_d}}$
- 透射波长的角度依赖关系

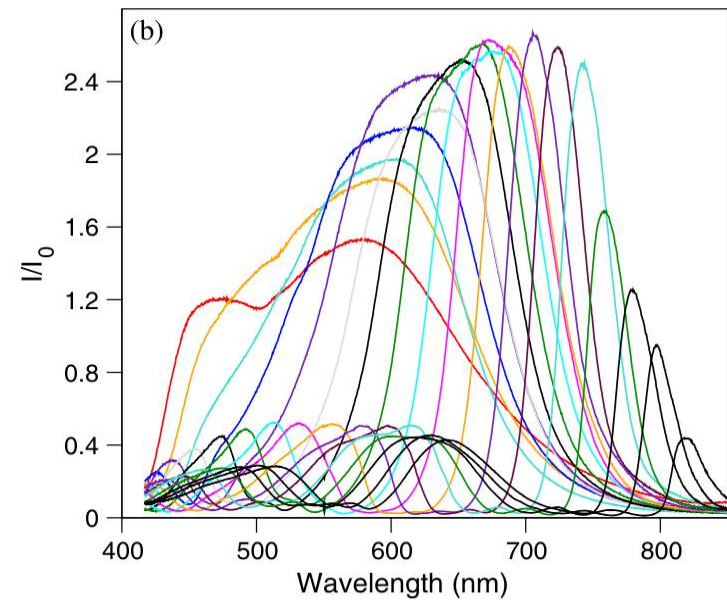
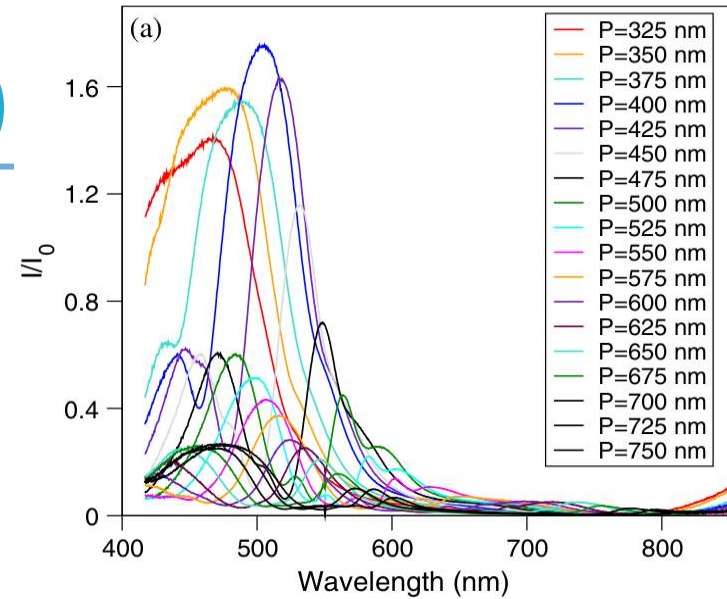
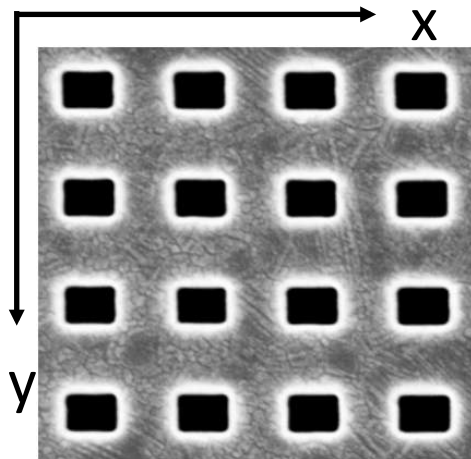
→ SPP起作用



# SP

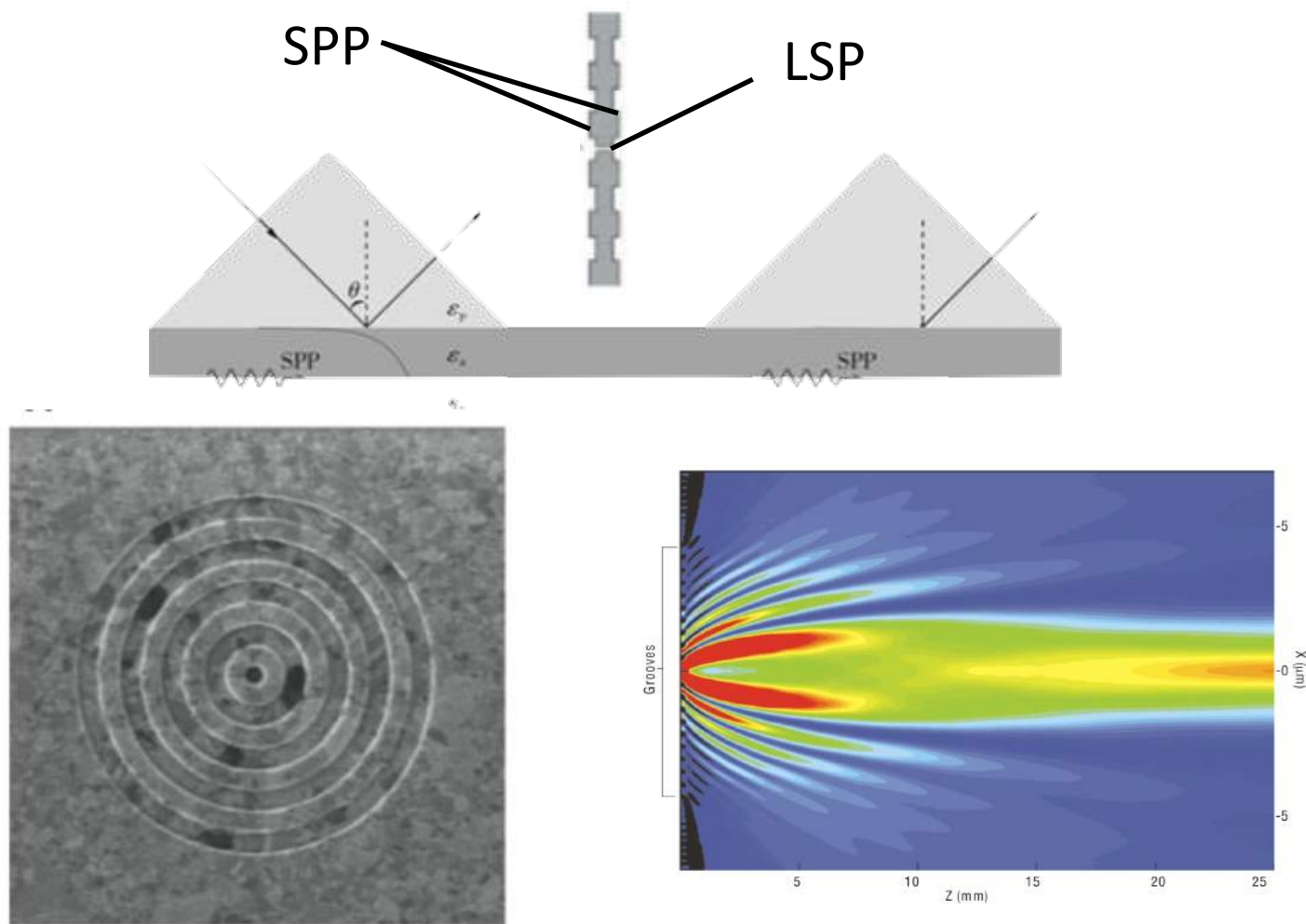
## 透射增强现象 ( EOT )

- 孔形状引起透射峰位置  
和形状改变  
→ LSP起作用



# SP

## 透射增强现象：从孔阵列到单孔



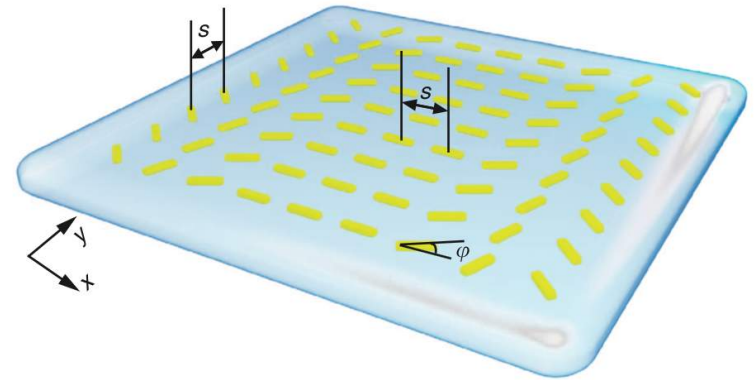
Lezec H J, et al. Beaming light from a subwavelength aperture[J]. Science, 2002, 297(5582): 820-822.

# LSP中的旋光特性

## Helicity in LSP

- 超构等离激元透镜
- 等离激元表面实现全息

- 透镜：重塑波前
- 传统透镜：相位连续改变
- 改变透镜表面的形状
- 改变透镜内部折射率分布
- 等离子透镜：在薄层内不连续改变相位





- 光通过单个小金属棒

$$L \rightarrow L \& e^{i2\varphi} R$$

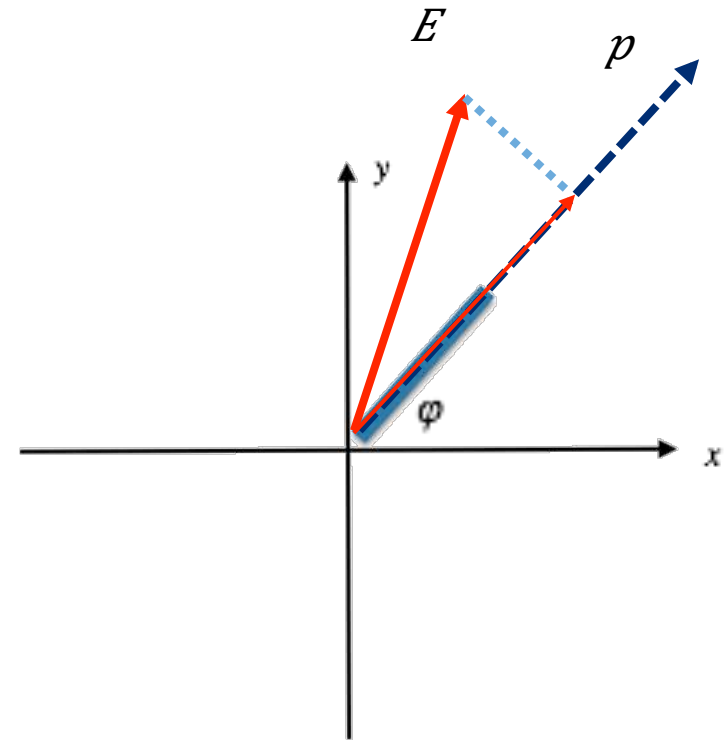
$$R \rightarrow R \& e^{-i2\varphi} L$$

Proof:

$$\begin{pmatrix} p_x \\ p_y \end{pmatrix} = \alpha_e \begin{pmatrix} \cos^2 \varphi & \sin \varphi \cos \varphi \\ \sin \varphi \cos \varphi & \sin^2 \varphi \end{pmatrix} \begin{pmatrix} E_x \\ E_y \end{pmatrix}$$

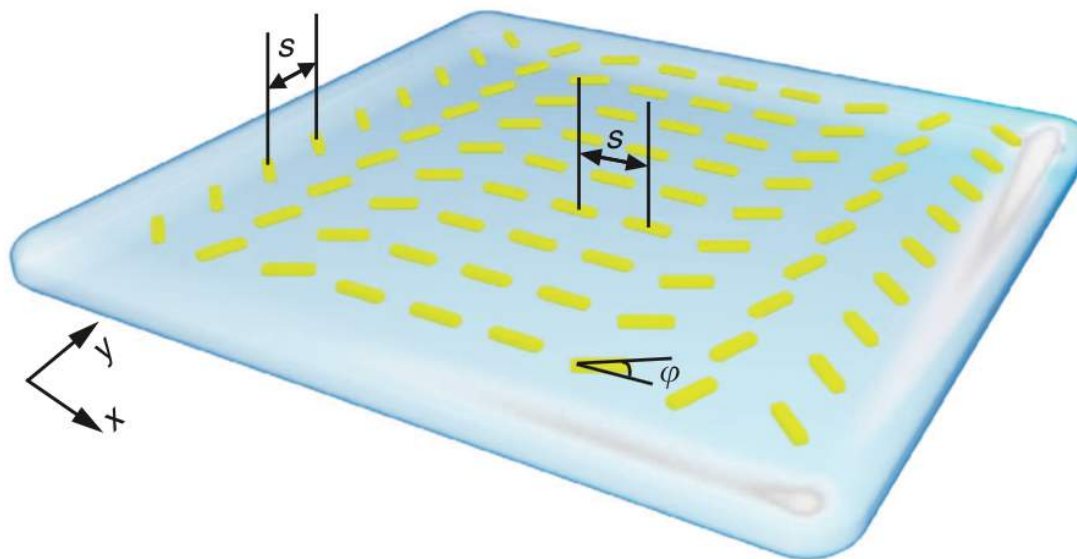
$$P_{L(R)} = \frac{1}{2} \alpha_e (e_x \pm i e_y) + \frac{1}{2} \alpha_e e^{\pm i2\varphi} (e_x \mp i e_y)$$

$$= \frac{1}{\sqrt{2}} \alpha_e (e_{L(R)} \pm e^{\pm i2\varphi} e_{R(L)})$$



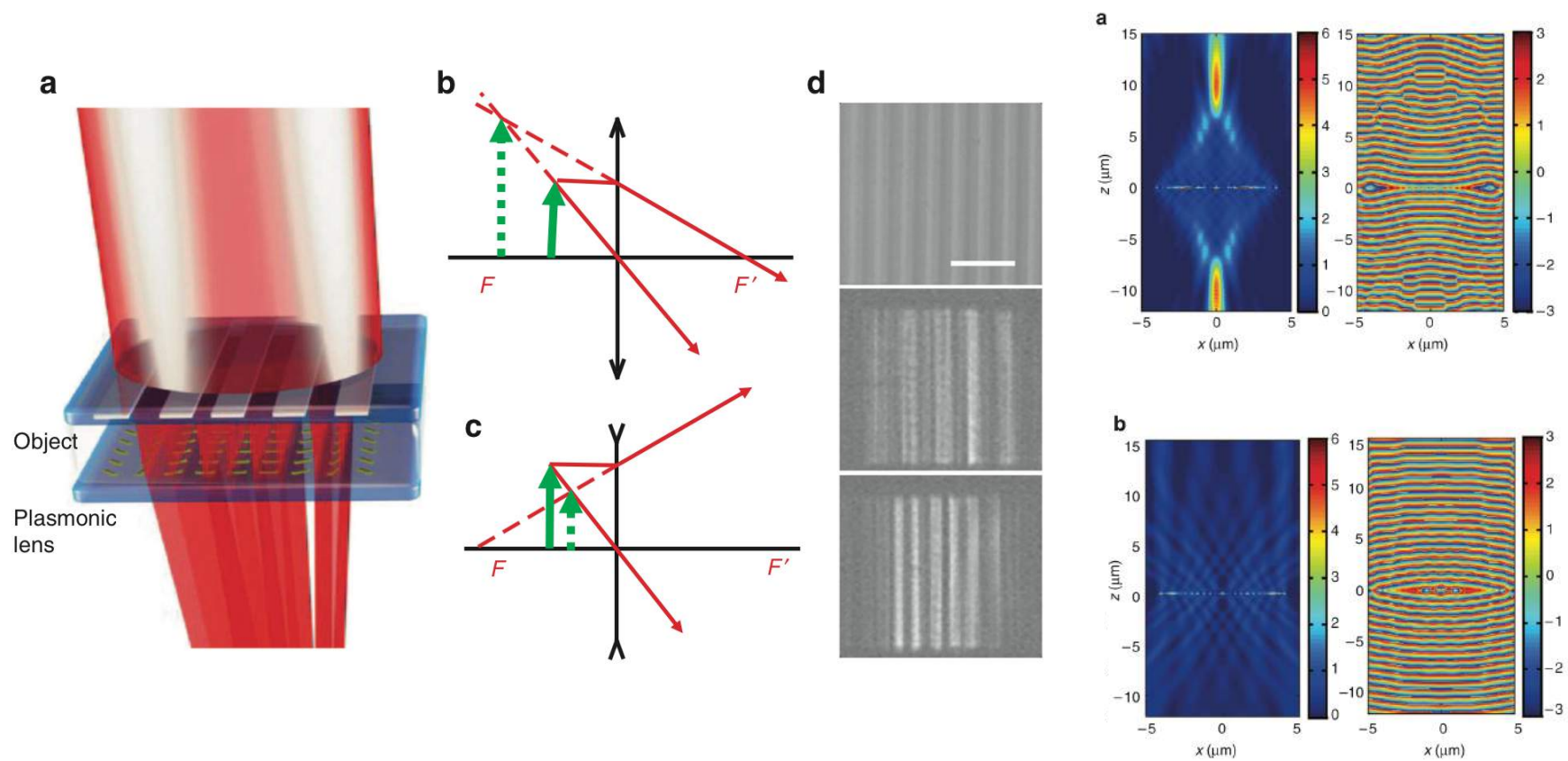


- 排列金属棒 形成透镜



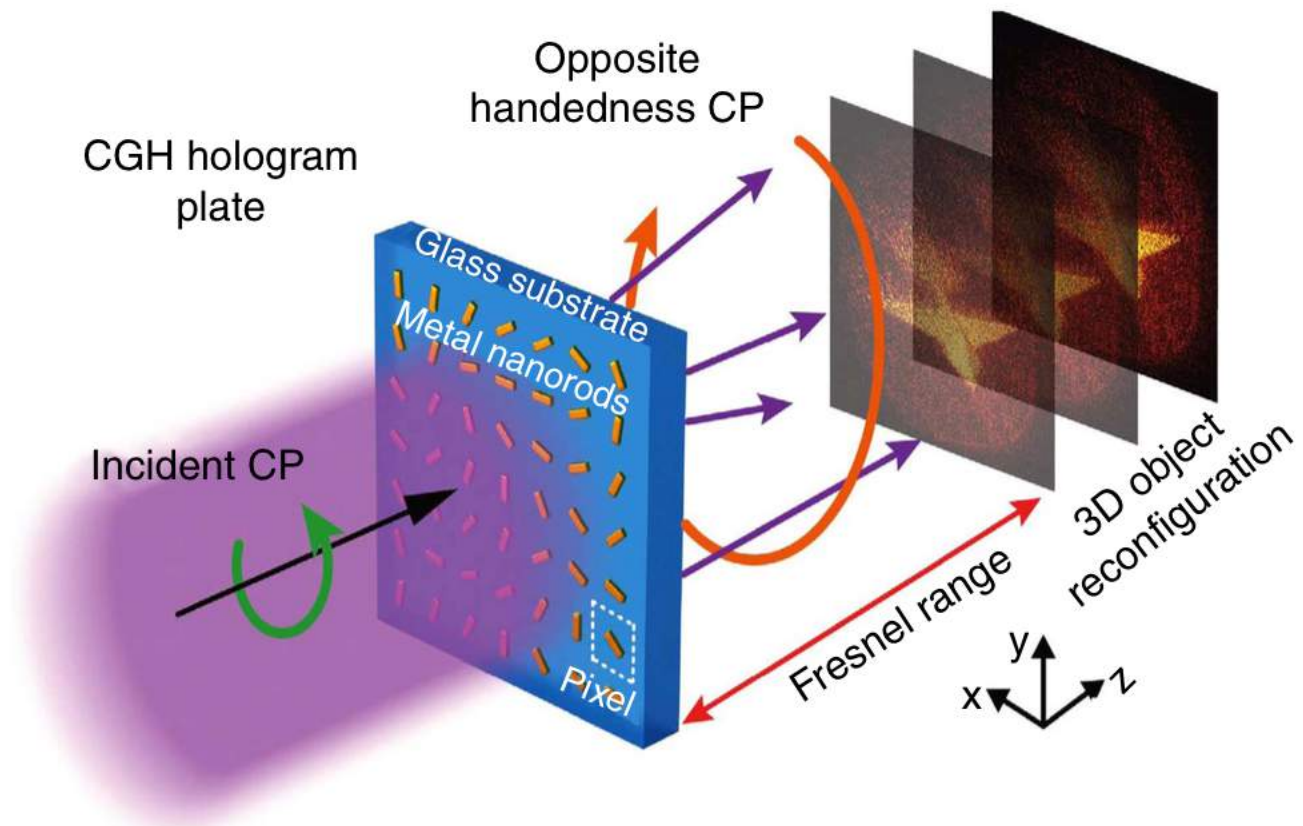
$$\varphi(x) = \pm 0.5k_0(\sqrt{f^2 + x^2} - |f|)$$

- 实现透镜功能



RL

# 等离激元表面实现全息

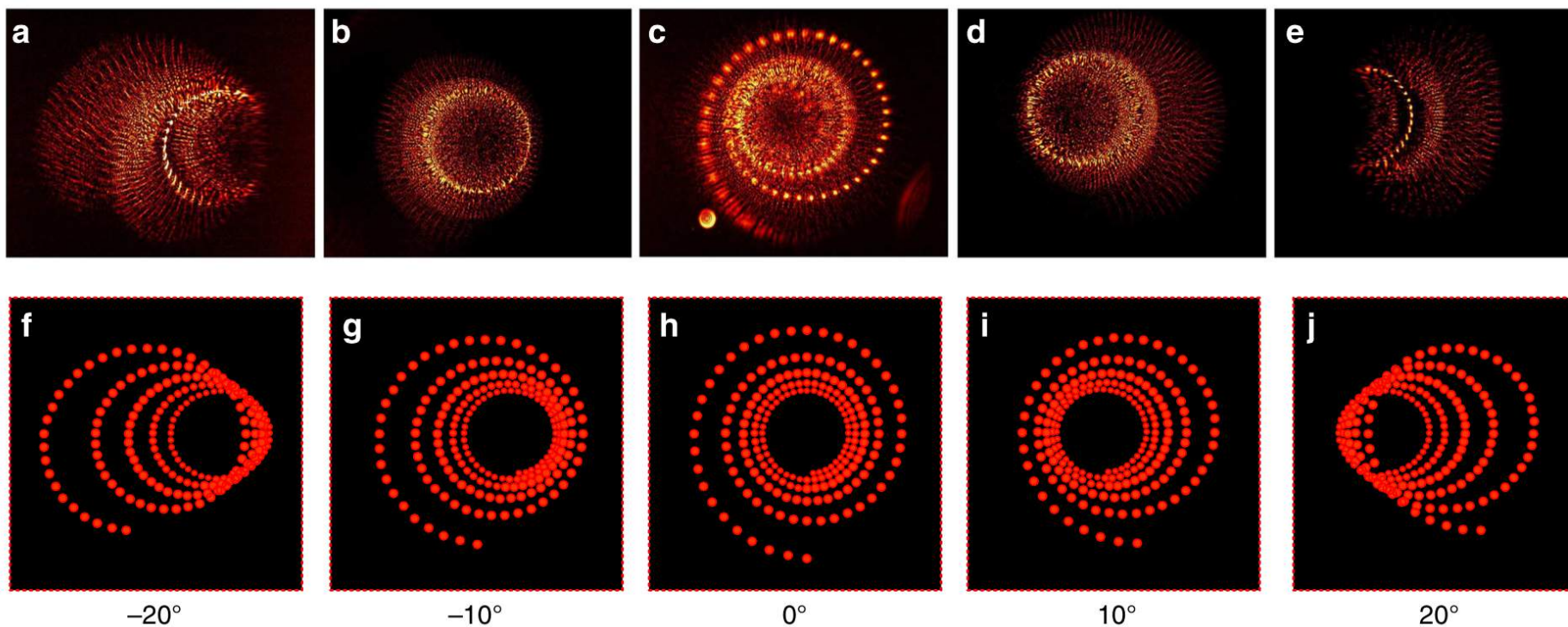


Huang L et al. Three-dimensional optical holography using a plasmonic metasurface[J]. Nature communications, 2013, 4.

# RL

## 等离激元表面实现全息

- 优势：像素尺寸更小，视场角度更宽  $\sin \theta = \frac{1}{2s} \lambda$



# 自旋-轨道相互作用

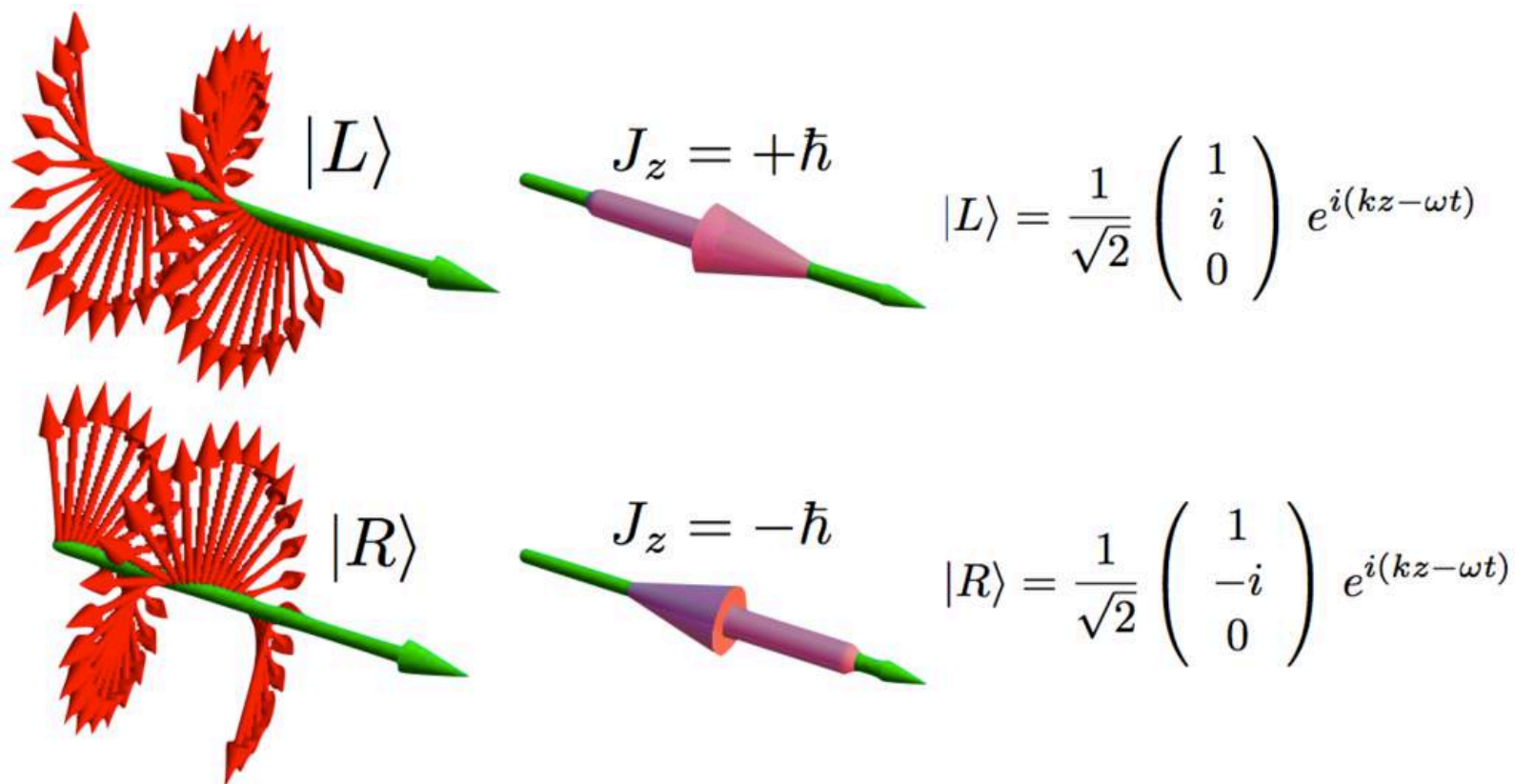
## L-S Interaction

- 光的轨道角动量
- “几何相”与“动力学相”
- 自旋-轨道转化的规律

## LS

## 光的自旋、轨道角动量

光子自旋角动量 &gt;&gt; 光束的旋光性



# LS

## 光的自旋、轨道角动量



光子轨道角动量  
>> 光束的螺旋特性

对于近轴的圆光束：

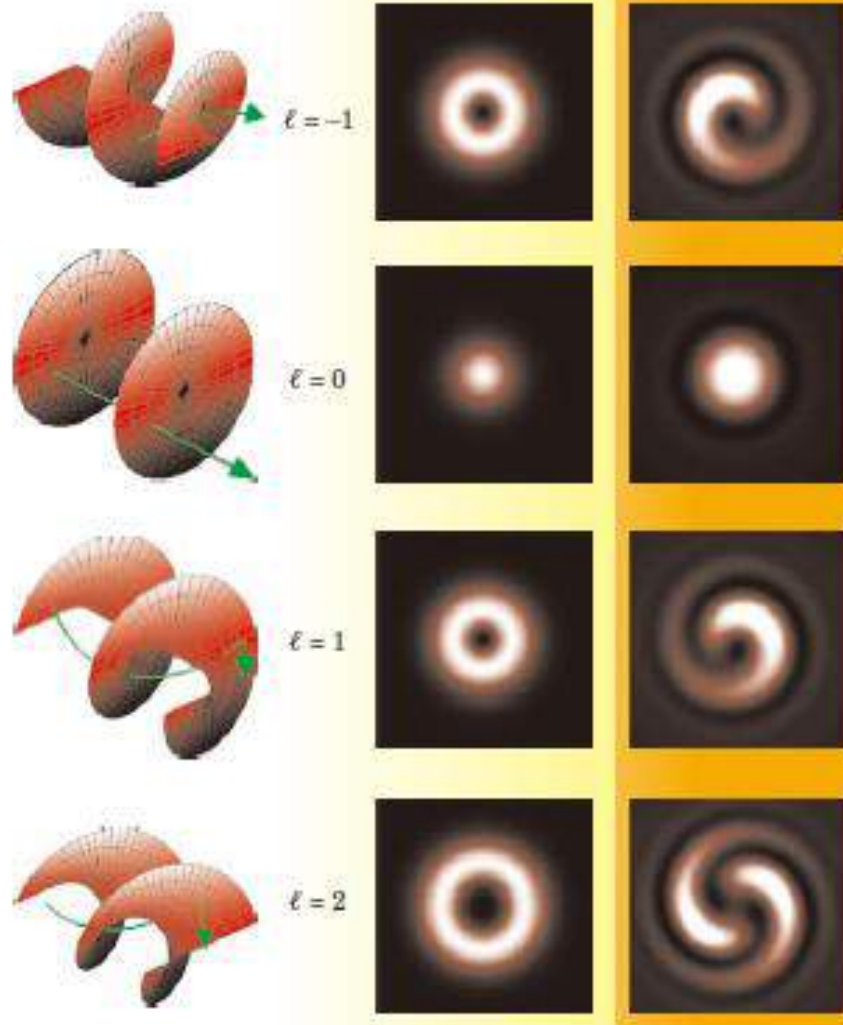
$$J = L + S$$

$$S: \sigma_{\uparrow} + \sigma_{\downarrow}$$

(各点偏振性质决定)

$$L: e^{i\ell\phi}$$

(空间相因子决定)



# LS

## 光的自旋、轨道角动量(补充)

- 电磁波的角动量密度

$$j = \epsilon_0 \mathbf{r} \times (\mathbf{E} \times \mathbf{B})$$

- 做体积分，得： $J = \epsilon_0 \int \mathbf{r} \times (\mathbf{E} \times \mathbf{B}) d^3 r$

- 对于近轴的圆光束，作分解：

$$J = \epsilon_0 \int (\mathbf{E} \times \mathbf{A}) d^3 r + \epsilon_0 \sum_{i=x,y,z} \int (E_i (\mathbf{r} \times \nabla) A_i) d^3 r$$

$S$ : 表达式第一项

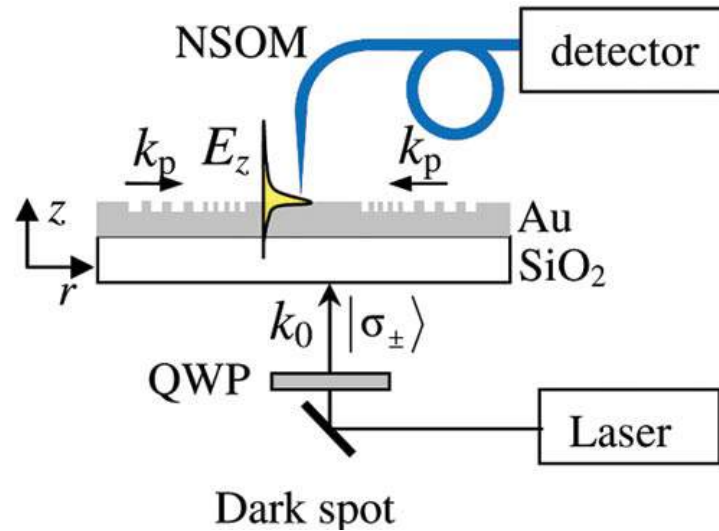
$L$ : 表达式第二项

$$J = L + S$$

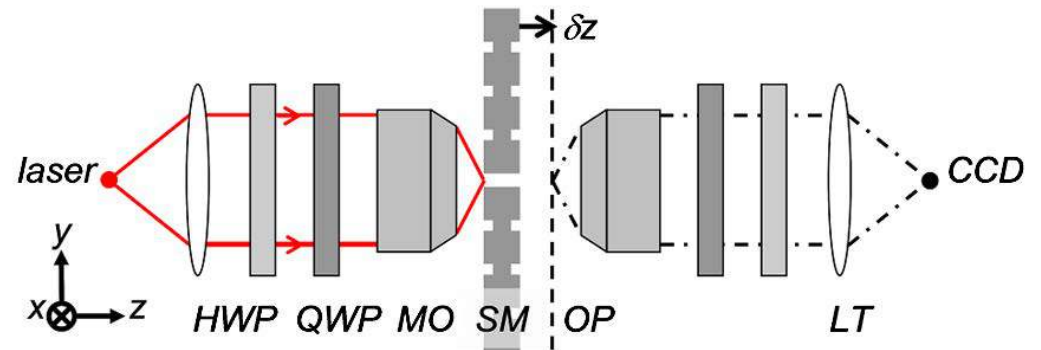


## 圆环光栅SPP:耦合, 传播与解耦合

- 单面刻光栅:
  - 近场信号探测



- 双面刻光栅:
  - 远场信号
  - SPP → LSP → SPP

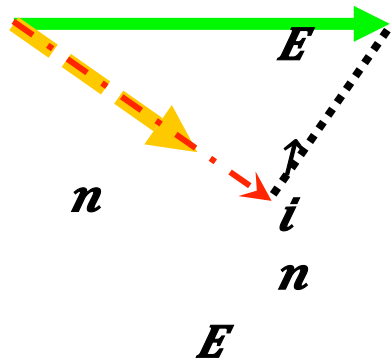


LS

# SPP光栅耦合：投影特性

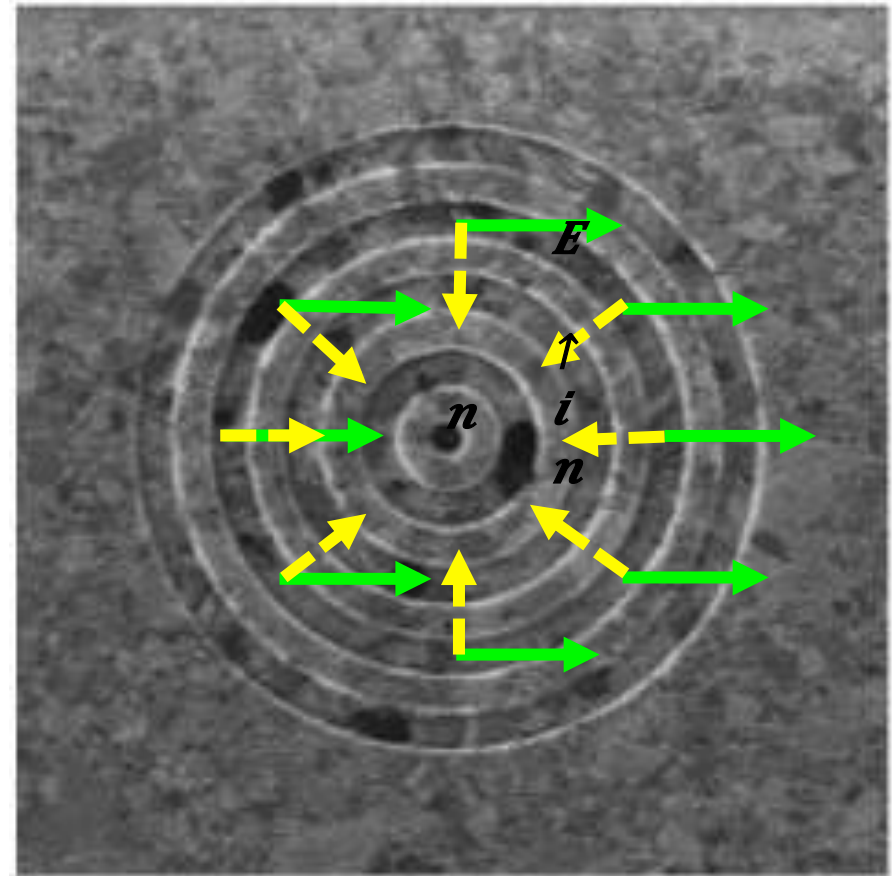
SPP的激发：

场强 $E^{in}$  沿光栅法向投影



$$E \uparrow SP \sim (E \uparrow in \cdot n) n$$

*S*  
*P*

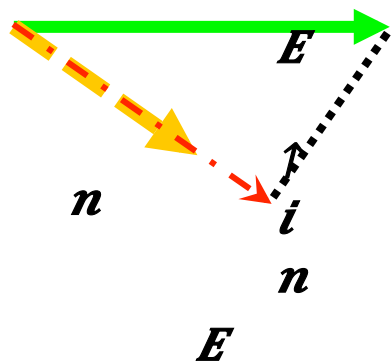


LS

# SPP光栅耦合：投影特性

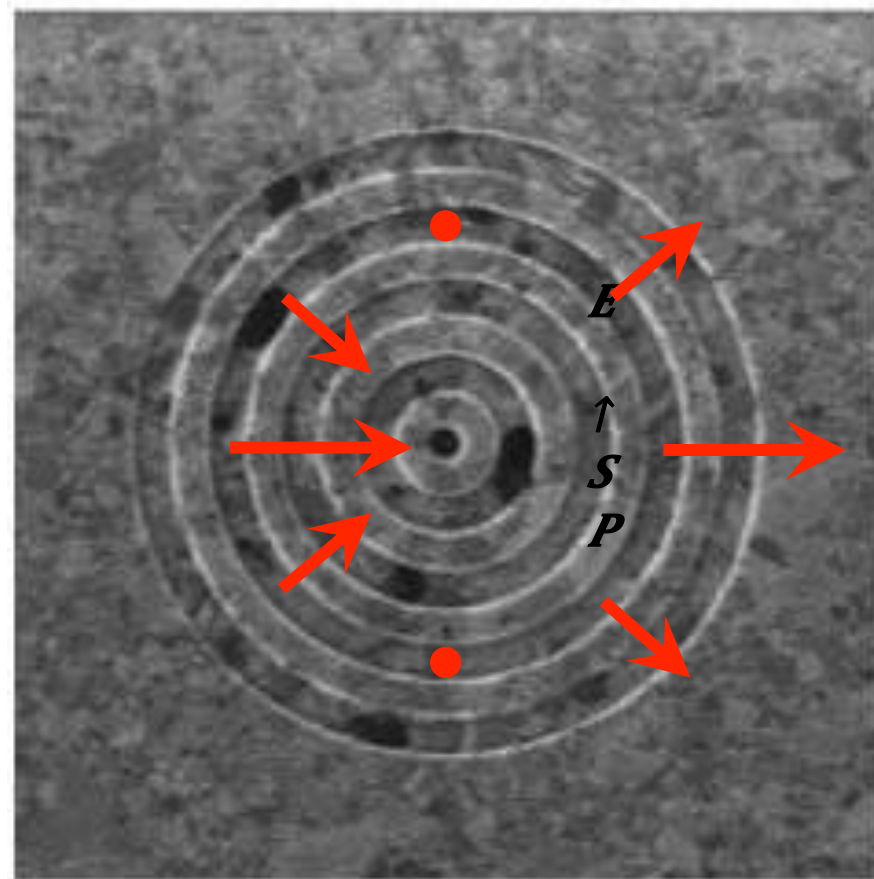
SPP的激发：

场强 $E^{in}$  沿光栅法向投影



$$E \uparrow SP \sim (E \uparrow in \cdot n) n$$

$S$   
 $P$



LS

## SPP光栅耦合：投影特性

左/右旋光：

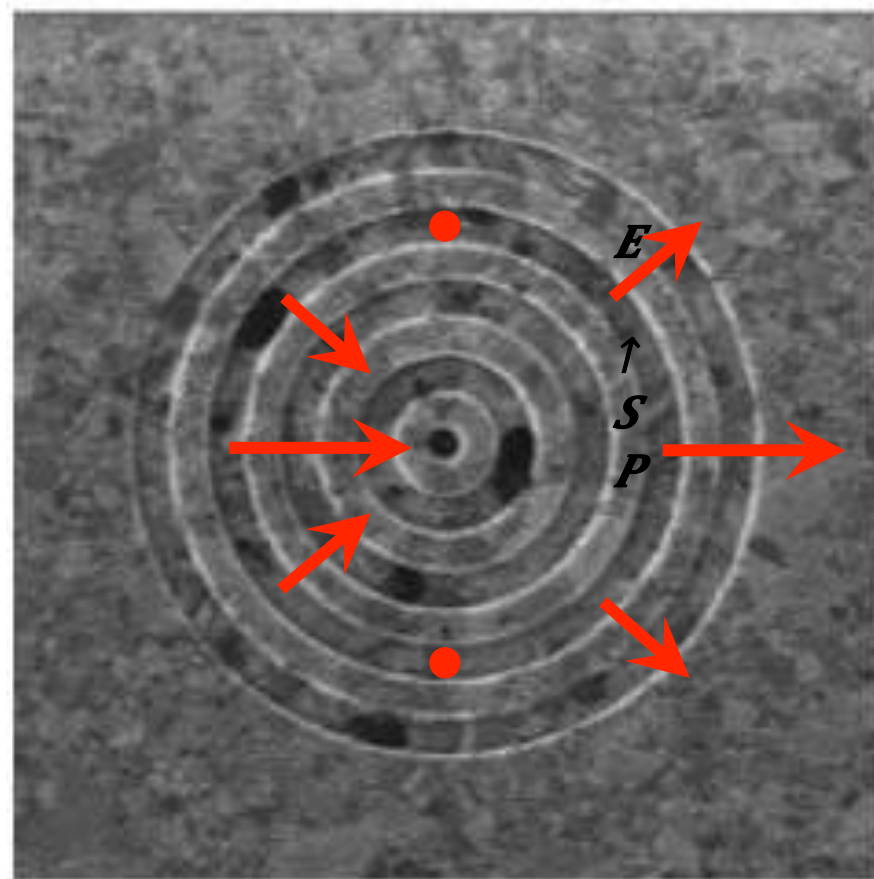
$E^{in}$ 的**方向周期性变化**

→ $E^{SP}$ 的方向随之变化

$$E \uparrow SP(t) \sim (E \uparrow in(t) \cdot n) n$$

→向内传播的 $E^{SP}$ **方**

**向时刻改变**

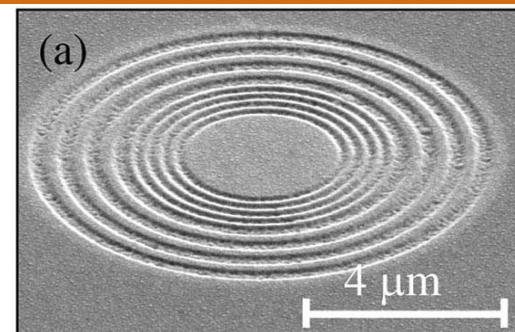


LS

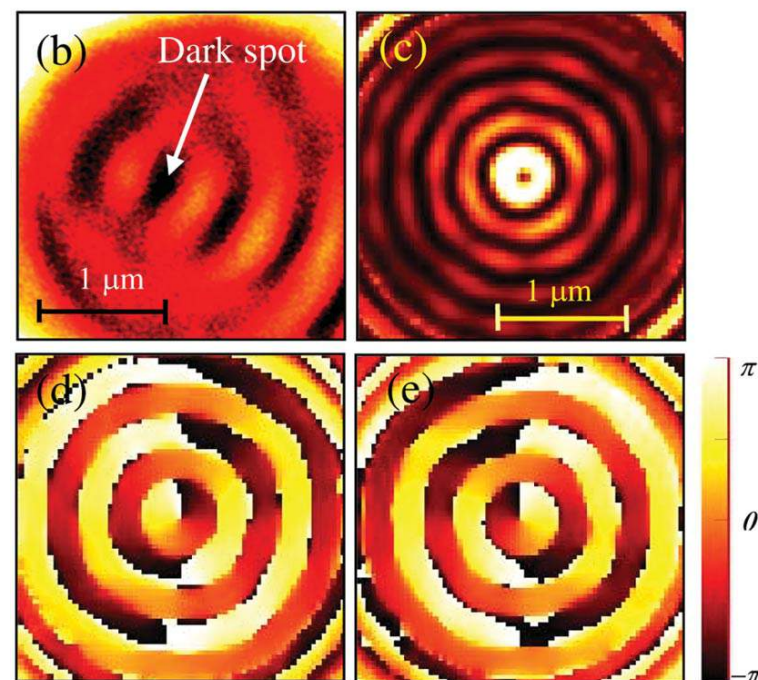
# “几何相”的产生



SPP耦合场 $E^{SP}$ 的旋  
转 >> 相位的积累效应



左/右旋光射入  
>> 激发轨道角动量光



$$\sigma = \pm 1 \rightarrow \pm l = \pm 1$$

自旋到轨道的转化

Hasman et al. PRL., 2008, 101(4): 043903.

LS

## 非圆环光栅：旋转对称破缺

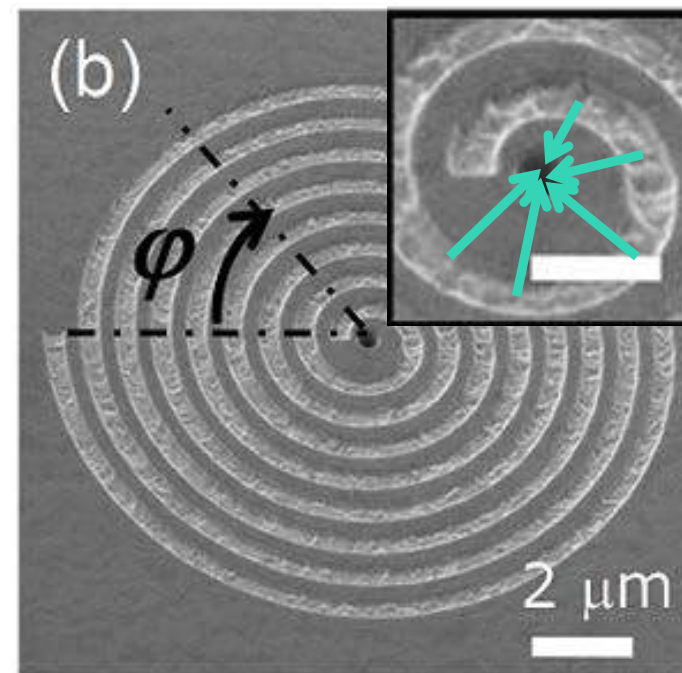
需要更高的轨道角动量！

改变光栅的形状！

“阿基米德螺线”光栅

$$\rho = a + b\phi$$

- 不同角度：到达圆孔传输距离不同  $\gg$  不同相位差
- 相同角度： $\lambda$  整数倍距离差，到达圆孔时积累相同相位差



# LS

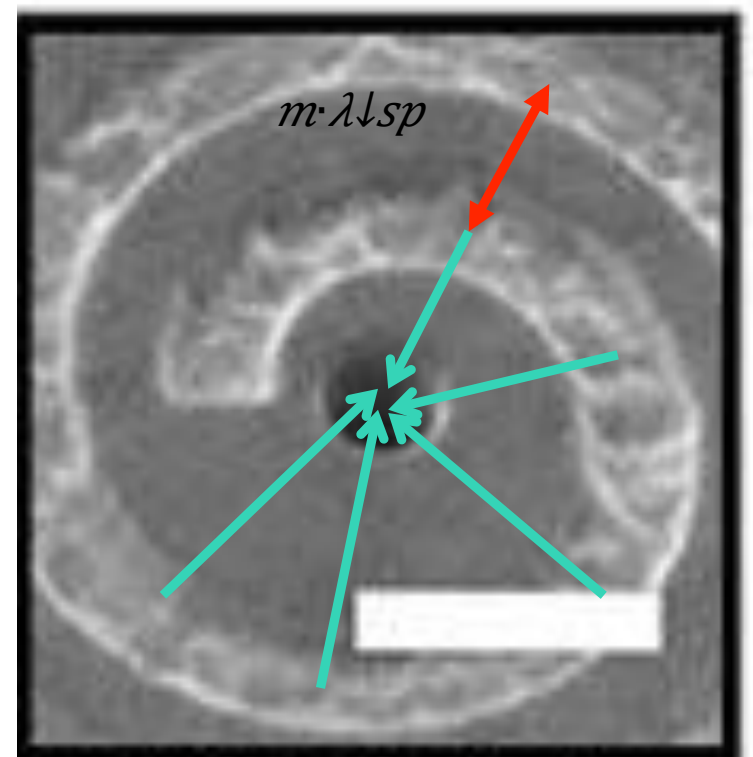
## “动力学相”的产生

- 不同角度 >> 不同相位差
- 相同角度 >> 相同相位差

$E^{SP}$  的路径差  
>> 产生径向偏差

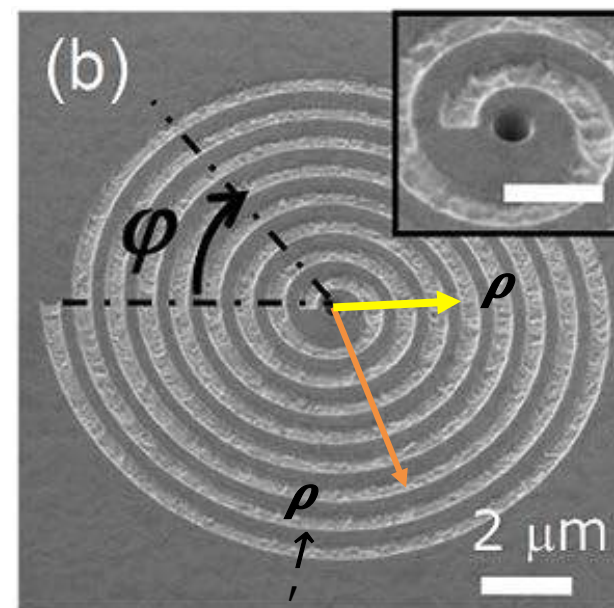
$$\rho = m \phi \lambda \downarrow sp / 2\pi \rho$$

整数  $m$ : 光栅倾斜程度  
绕一圈相位变化  $2\pi * m$





- 光栅耦合→表面点光源发光
- 惠更斯-菲涅尔原理：  
点源影响叠加
- 远场近似：
  - 考虑到点源离中心较远，逐圈考虑光栅的激发
  - 法向近似沿半径  $\rho$  方向





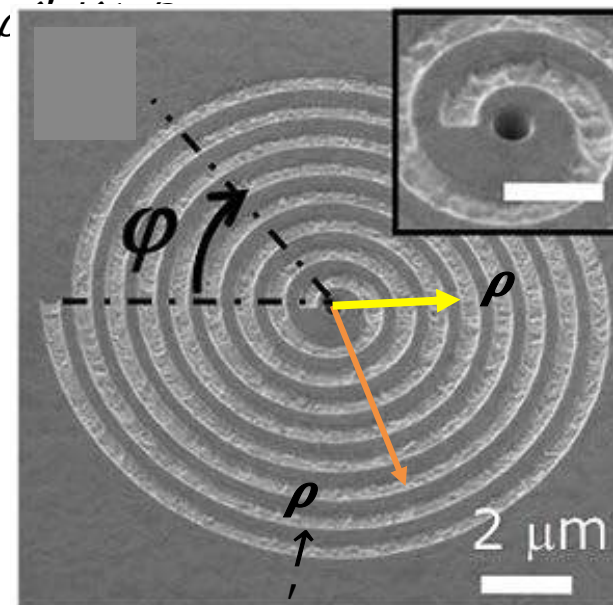


## 光栅耦合：点源影响函数

$$E_{sp}(\rho) \sim \delta(\rho - \rho') * \{G(\rho, \rho') [n \otimes n] \cdot E_{in}(\rho')\}$$

- 格林函数  $G(\rho, \rho') = e^{ik_{sp}(\rho - \rho')} / |\rho - \rho'|$   
(柱面波形式)

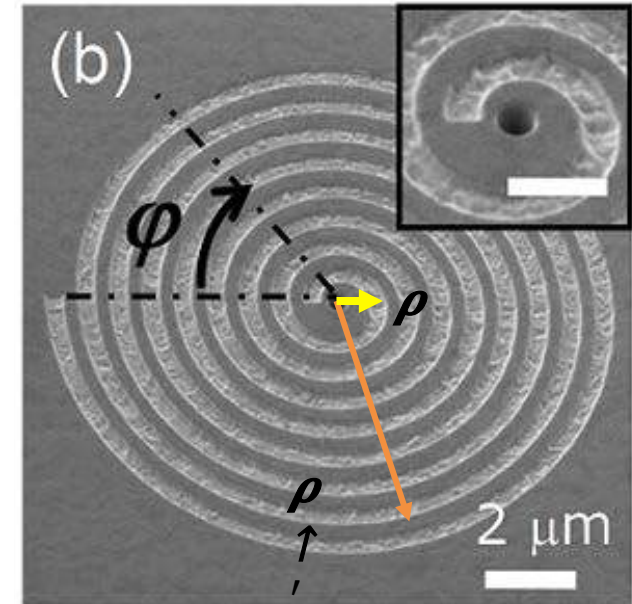
- 光栅法向  $n = \kappa^{-1} d^2 \rho / ds^2$



# SPP传播的“传播子”理论

远场近似 ( $\rho \ll \rho^*$  时)

- 光栅法向  $n \approx -\rho$
- 分圈考虑光栅 (共  $n$  圈)
  - $\rho^* = \rho^*(n, \phi)$
  - $\delta(\rho - \rho^*) = \delta(\rho - \rho^* \downarrow n^*)$
  - $n$ : 离散求和  $\phi$ : 环路积分



$$E_{sp}(\rho) \sim \delta(\rho - \rho^*) * \{ G(\rho, \rho^*) [n \otimes n] \cdot E_{in}(\rho^*) \}$$



$$E_{sp}(\rho \downarrow 0, \phi \downarrow 0) \approx \sum_n \sqrt{n \lambda \downarrow sp} f(n \lambda \downarrow sp) \int_0^{2\pi} d\phi e^{im\phi} e^{-ik \downarrow sp \rho \downarrow 0 \cos(\phi - \phi \downarrow 0)}$$

# LS SPP传播的“传播子”理论

$$E_{\uparrow sp}(\rho \downarrow 0, \phi \downarrow 0) \approx \sum_n \sqrt{n} \lambda_{\downarrow sp} f(n \lambda_{\downarrow sp}) \int_0^{2\pi} d\phi e^{im\phi} e^{-ik_{\downarrow sp} \rho \downarrow 0 \cos(\phi - \phi \downarrow 0)}$$

- 耦合矩阵:

- $E_{\uparrow SP} = C(m \downarrow in) \cdot E_{\uparrow in}$

- $C(m \downarrow in) = e^{im \downarrow in \phi \downarrow 0} \int_0^{2\pi} d\phi e^{im \downarrow in \phi} e^{-ik_{\downarrow sp} \rho \downarrow 0 \cos \phi} \rho \rho$

- 解耦合:逆过程

>> 解耦合矩阵:  $C(m \downarrow in)$  求厄米共轭  $C^{\uparrow+}(m \downarrow out)$

- 转换矩阵:

- $T = C^{\uparrow+}(m \downarrow out) C(m \downarrow in)$

# SPP传播的“传播子”理论

- 转换矩阵：

- $T = C^{\uparrow}(m_{out})C(m_{in})$

- 计算结果：

- $T \propto e^{i(m_{in} - m_{out})\phi} \begin{pmatrix} t_{++} & t_{\pm} e^{-2i\phi} & t_{\mp} e^{2i\phi} & t_{--} \end{pmatrix}$

- $t_{++}(r) = J_{m_{out}-1}(k_{sp}\rho) / J_{m_{in}-1}(k_{sp}\rho h)$

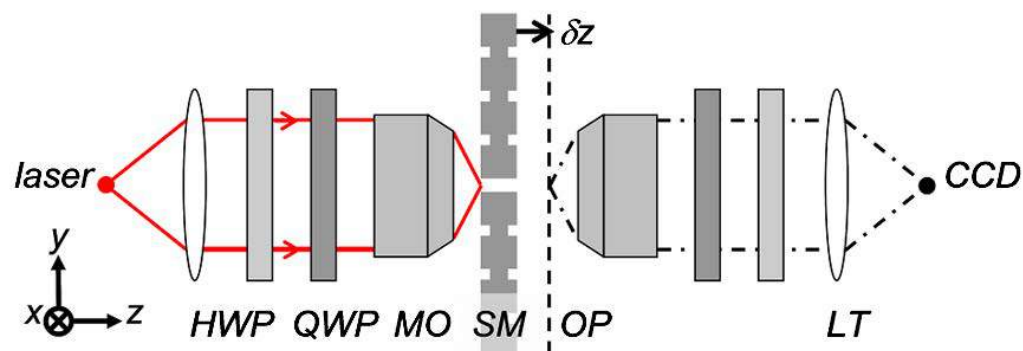
- $t_{\pm}(r) = -J_{m_{out}-1}(k_{sp}\rho) / J_{m_{in}+1}(k_{sp}\rho h)$

- $t_{\mp}(r) = -J_{m_{out}+1}(k_{sp}\rho) / J_{m_{in}-1}(k_{sp}\rho h)$

- $t_{--}(r) = J_{m_{out}+1}(k_{sp}\rho) / J_{m_{in}+1}(k_{sp}\rho h)$

# LS

## 远场光的现象总结



右旋  $\sigma_{\downarrow+}$  : 角动量  $l_{\downarrow in}$

或

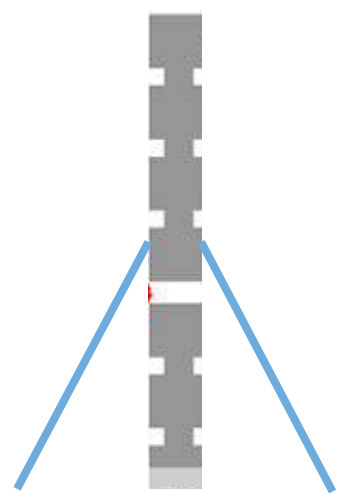
左旋  $\sigma_{\downarrow-}$  : 角动量  $l_{\downarrow in}$

右旋  $\sigma_{\downarrow+}$  : 角动量  $l_{\downarrow+}$

左旋  $\sigma_{\downarrow-}$  : 角动量  $l_{\downarrow-}$

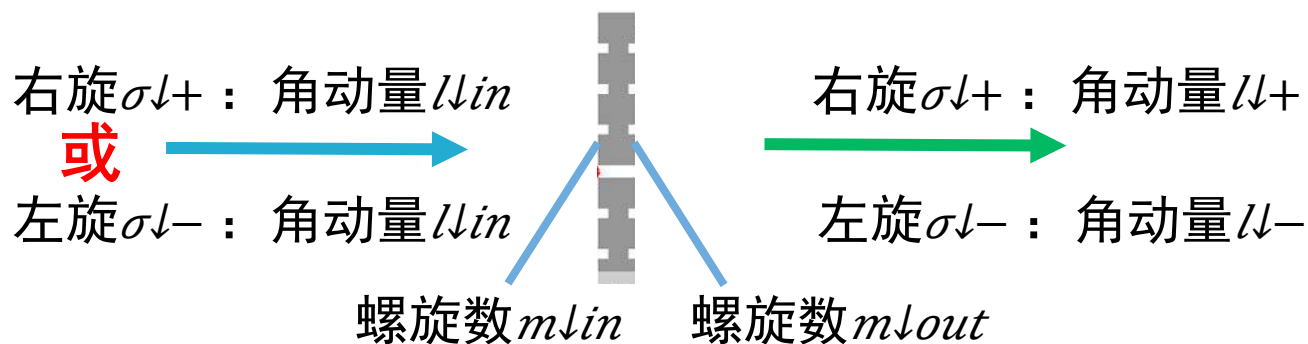
螺旋数  $m_{\downarrow in}$

螺旋数  $m_{\downarrow out}$



# LS

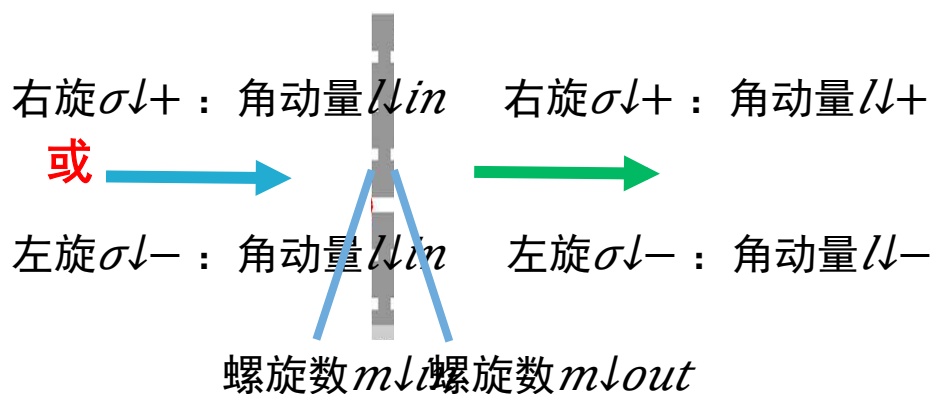
## 远场光的现象总结



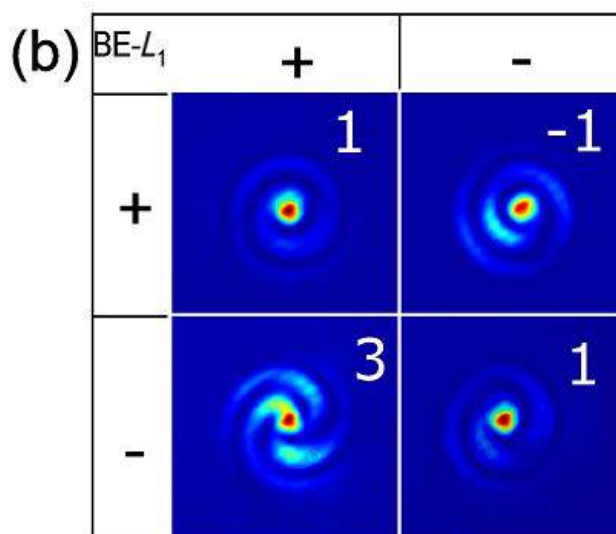
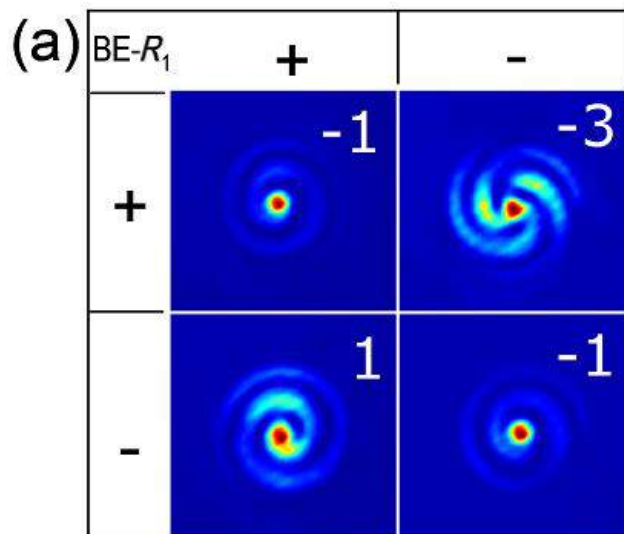
	出射右旋分量角动量 $l_{\downarrow+}$	出射左旋分量角动量 $l_{\downarrow-}$
入射 $l_{\downarrow in}$ : 右旋 $\sigma_{\downarrow+}$	$l_{\downarrow in} + m_{\downarrow in} - m_{\downarrow out}$	$l_{\downarrow in} + m_{\downarrow in} - m_{\downarrow out} - 2$
入射 $l_{\downarrow in}$ : 左旋 $\sigma_{\downarrow-}$	$l_{\downarrow in} + m_{\downarrow in} - m_{\downarrow out} + 2$	$l_{\downarrow in} + m_{\downarrow in} - m_{\downarrow out}$

# LS

## 远场光的现象总结



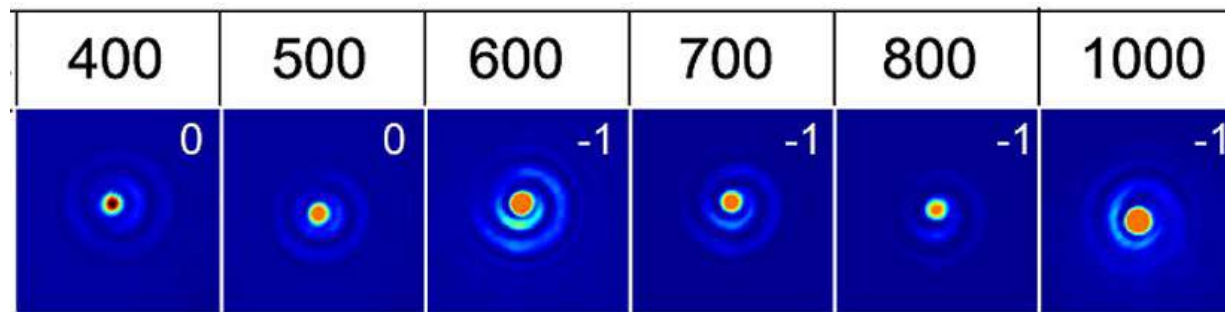
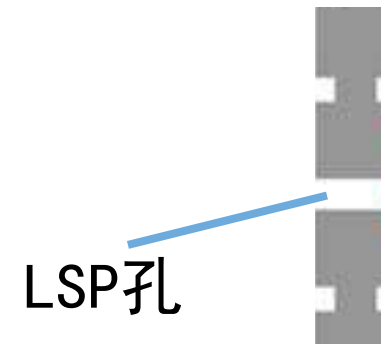
	出射右旋分量 角动量 $\ell\downarrow +$	出射左旋分量 角动量 $\ell\downarrow -$
入射 $\ell\downarrow in$ : 右旋 $\sigma\downarrow+$	$\ell\downarrow in + m\downarrow in - m\downarrow out$	$\ell\downarrow in + m\downarrow in - m\downarrow out - 2$
入射 $\ell\downarrow in$ : 左旋 $\sigma\downarrow-$	$\ell\downarrow in + m\downarrow in - m\downarrow out + 2$	$\ell\downarrow in + m\downarrow in - m\downarrow out$



BE:  $m=0$   
 $R_1$ :  $m=1$   
 $L_1$ :  $m=-1$

## 一个细节：LSP的截止模式

- 螺旋光 ( $l \neq 0$ ) :
  - 环绕经过LSP孔
- LSP宽度限制：
  - 螺旋光存在截止孔径

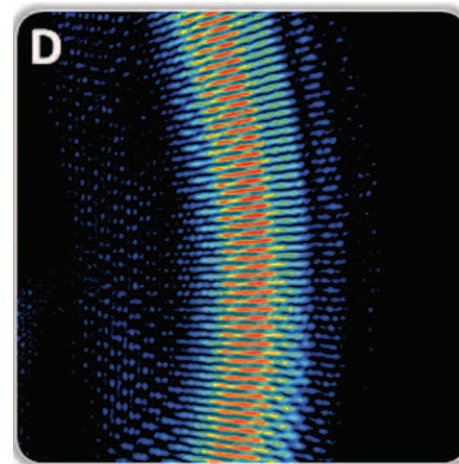
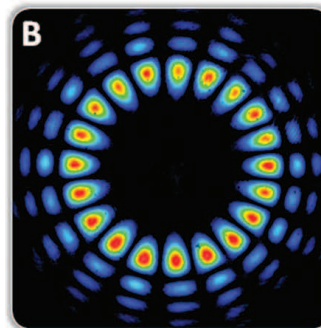




## LS

## 角动量光学：应用

- 轨道角动量光：
  - 高维 ( $l=300$ ) ;
  - 稳定;信道间独立性好;
  - 信息编码, 传输, 计算
- SPP自旋轨道转化:
  - 角动量光之间的相互转化
  - 量子计算逻辑元件: CNOT门



(b)	+	-
+	-6 	-8 
-	-4 	-6 

# 总结：SP及其旋光特性应用

内容	SP特性/应用
<ul style="list-style-type: none"><li>• 表面等离激元简介<ul style="list-style-type: none"><li>• SPP/LSP 原理与特性;</li><li>• 增强透射效应中SPP/LSP特性的具体体现</li></ul></li></ul>	<ul style="list-style-type: none"><li>• SPP特性：<ul style="list-style-type: none"><li>• 表面局域性</li></ul></li><li>• LSP特性：<ul style="list-style-type: none"><li>• 场增强特性</li></ul></li></ul>
<ul style="list-style-type: none"><li>• LSP中的旋光特性应用<ul style="list-style-type: none"><li>• LSP调控左右旋光相位;</li><li>• 排列结构进行聚焦、成像;</li><li>• 排列结构实现全息</li></ul></li></ul>	<ul style="list-style-type: none"><li>• LSP旋光特性：<ul style="list-style-type: none"><li>• 出射光强一致</li><li>• 像素尺寸小</li></ul></li></ul>
<ul style="list-style-type: none"><li>• SPP实现自旋轨道转化<ul style="list-style-type: none"><li>• 光束的轨道角动量;</li><li>• ‘几何相’与‘动力学相’;</li><li>• 自旋-轨道转化的规律;</li></ul></li></ul>	<ul style="list-style-type: none"><li>• SPP旋光特性：<ul style="list-style-type: none"><li>• 自旋控制轨道的转换</li><li>• 信道的编码与转换</li></ul></li></ul>

THX!

Members:

张楚珩	121120173
杨帆	121120157
曾培	121120171

南京大学物理学院12级

感谢王漱明老师在研习讨论中给予的指导！

有兴趣讨论，欢迎发邮件至  
zengpei@live.cn  
zhangchuheng123@live.com